

## 「設計津波」の一提案

東北大學工學部 教授 工博 ○岩崎敏夫  
同 助手 楊 次民

### §1. 序論

わが国に於ける三陸沿岸に亘りては過去にしばしば大津波による災害を経験してきた。從つて津波対策としての施設を構築するに亘り、これの重要な課題である。しかるに從来構造物設計の為の外力としての津波については、必ずしも明確でない。いわば経験的が多いためにすぐねがつたと考えられる。本論文は、著者等が10数年にわたって行なってきた研究成果に基づき、津波対策の為の設計津波に学問的根據をもたらす目的で提案するものである。

### §2. 従来の津波対策構造物の設計方法と問題点

津波対策としては、<sup>津波防護堤</sup>防潮壁、防潮堤、防潮建築物の構造物の設置、避難道路、街區高地移転等の都市計画がある。従来これら構造物を設計するに当つてはまず対象とする津波を選定し、対象地帯における浸水高さの記録によつて設計水位にしてきた。しかし一寸考へば余るようには、津波の発生確率や、避上時の外線型效果等よりしてこの設計方法か、何等根據をもたないことは明白である。他方津波理論については震源域の地盤変形があたえられれば、一種の Cauchy-Poisson 波としての連移波が求められ、また屈折、大陸棚反射、エッゲ波の存在などの波形変化的理論、湾内変形理論、さらには避上理論に至り、津波の性質がかなり細かく分かることになりた。ただ、これらの一連の津波発生より避上に至るプロセスは相互に関連なく研究が進められており、これを実際の設計に役立たせることは何等試みられていない。

ついで防潮壁や防潮堤に衝突した津波は、衝突前の水深より著しく（高く）なる。図-1は、陸上を避上する津波の先端のフルード数を岩崎・富権（1969）が求めた値  $F=2$  として、横軸に防潮堤高さ  $H_d$  と侵入津波の水深  $h_1$  の比をとり、防潮堤に衝突した時に生じた反射波の高さ  $h_2$  と  $h_1$  の比を縦軸にして、岩崎・富権（1967）が求めた理倫値を画したものである。

従つて  $H_d = h_1$  の場合  $h_2 = 2.8 h_1$ 、 $H_d = 2h_1$  の場合  $h_2 = 3.2 h_1$ 。  
 $H_d = 3h_1$  の場合  $h_2 = 3.4 h_1$  であった。完全に阻止する場合には実際には  $h_2$  は  $h_1$  の 3.5 倍程度の防潮堤を設計する必要を生じるこゝである。この結果よりすれば従来の防潮堤に亘りては既往の津波が未襲した場合、殆んど越流を免れがちである。しかし従来での防潮堤の高さが高すぎて住民の日常不便を感づてゐる：よりオルは、この高さを 3.5 倍にするのは殆んど不可能であり、この改めて、設計津波概念に再検討が必要であると判断する。従つて以下に二の問題につき考察を加え、「設計津波」についての提案を行なうことにする。

### §3. 設計津波

前節で述べたようにして津波対策を講ずる場合、問題はやはり津波は既往最大よりの標高以上解決できない。しかし河川に亘りての許容洪水は当初、既往最大であつたのか、確率洪水の概念が導入してからにつれて、対象とするべき河川、あるいは工作物の重要度に応じて return period を設定し、さらに

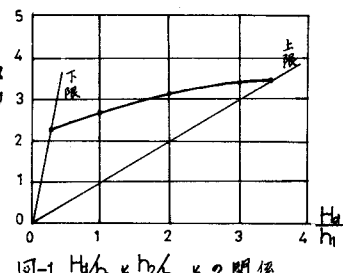


図-1.  $H_d/h_1$  と  $h_2/h_1$  の関係

時間配分を問題として計画高水位の概念が導入され大きな注目周知の通りである。これが自然災害要因に古川でも、生起する最大量は上限は約1.7mの水位であり、既往最大の概念によると次々に更新され、設計部量を規定せざるを得ない様子。これに反し確率量の設定においては、当然超過確率が見込される、従って平均以上の被害の予想が立てられることは、これに非超過確率による利益予想とのバランスによって妥当な投資額が見込まれることになる。

さて津波について既往最大が通用し難い事情はすでに述べた。しかるに飯田波事例(1868年5月1962年)94年間にかけて平均地震津波について表-1のように統計処理を行なった。

表-1. 津波の発生頻度(1868~1962)

|                 | 最大潮上高<br>0.063m | 0.63~1.25m | 1.25~2.50m | 2.50~5.0m | 5.0~10.0m | 10.0~20.0m | 20.0~40.0m |      |
|-----------------|-----------------|------------|------------|-----------|-----------|------------|------------|------|
| 日本全体            | 発生数             | 37         | 24         | 10        | 6         | 4          | 1          | 2    |
|                 | 累加数             | 84         | 47         | 23        | 13        | 7          | 3          | 2    |
|                 | 平均発生年           | 1.1        | 2.0        | 4.1       | 7.2       | 13.4       | 31.3       | 47.6 |
| 三陸地方            | 発生数             | 21         | 11         | 5         | 3         | 2          | 0          | 2    |
|                 | 累加数             | 44         | 23         | 12        | 7         | 4          | 2          | 2    |
|                 | 平均発生年           | 2.1        | 4.4        | 7.8       | 13.4      | 23.1       | 47.6       | 47.6 |
| 津波のマグニチュード<br>m | -1              | 0          | 1          | 2         | 3         | 4          |            |      |

表-1には今さうに津波のマグニチュードmをほぼ相当する位置につけてある。表-1によれば限り昭和8年の津波はm=3(参考)であり、従って94年の発生頻度は、日本全体では30年程度、三陸地方では50年程度である。

従来の三陸地方の津波対策は、強んじて昭和8年五ヶ利地震津波(昭和35年)を対象としているのは、確率的にはこの程度であると考えてよい。つまり津波により予想される各海岸の津波の浸水高、陸上への遡上高を求めるのが目的であるが、津波防波堤、沿岸浚渫、岸壁増設、埋立土地造成など、湾の形状や海水振動特性に直接影響をあたえる工事が毎年盛んに行なわれ、さらには防潮壁、防潮堤、河川堤防、水門等の新設、補強、嵩上げに伴って遡上の状況も今後相当変わることを考慮される。従って実際湾口に襲来する津波について、その規模の大きさ、波形などを想定することから、湾内振動正則遡上を計算する萬に必須の條件となるわけである。従来、莫然と東襲波の周期及び波高が問題とされ、湾内においては湾の固有周期との関連によって共振するか否かなど論じられてきたが、正確規則波か莫然と予想されたいための解釈である。津波の海水振動を考へた場合、外洋波のスペクトル  $S_1(f)$ 、港湾のスペクトル  $S_2(f)$ 、港湾のパワー増加度  $A^2(f)$ との間に、 $S_2(f) = A^2(f) \times S_1(f)$ なる関係があり、岩崎・森河(1972)はこの点の研究を進めている。また遡上は非線型現象であり従来侵入波として孤立波をあたえ在計算がなされており、設計に際してはケース・スタディとして用いては波形の想定をせねばならない。これは河川における計画高水と相通じる概念である。

そこで、つまづく波源域の運動を推定し、さらに大陸棚を含めて湾はすでの津波の計算を行なうことと試みる。

#### 5.4. 波源域の運動

飯田によると津波のマグニチュードmと地震のマグニチュードMとの間に次式が提案されている。

$$m = 2.61M - 18.44 \quad (1)$$

昭和8年の津波のクラスを  $M=3$  とし、これを設計津波のマグニチュードとして式(1)より、 $M=8.23$

くなり、昭和 8 年の  $M = 8.3$  くほぼ匹敵するので、式(1) を用ひてよい。

Richter の修正による地震のエネルギー  $E_s$  (エルグ) は、

$$\log_{10} E_s = 13.0 + 1.5 M \quad (2)$$

である、 $M = 8.3$  くかく  $E_s = 2.818 E + 25$  エルグ である。

津波のエネルギー  $E_t$  は高橋龍太郎博士によると

$$\log_{10} E_t = 0.6 m + 21.4 \quad (3)$$

$m = 3$  くすり  $E_t = 1.583 E + 23$  エルグ となり、 $E_t/E_s = 0.55E - 2$  すなわち  $1/200$  位のエネルギーが津波に転化してくることとなる。飯田、高橋、渡辺らは昭和 8 年津波では  $1/10$  程度の値であると計算しているが、この差違は Richter の修正による式(1) の常数項の差によるものである。

つぎに浪源域の大きさは殆ど  $\sqrt{S}$  で余震域に対応するものとする。余震槽円の大きさと地震マグニチュード  $M$  の関係は従来の資料によると Wilson があたっていいるが、今回小川水准は羽鳥から古文書道古 76 年間の津波の浪源域の図より大体適用できる式として、余震域の集束距離  $l$  について、

$$l = 10^{\frac{M-6.27}{0.76}} \quad (4)$$

する経験式を導いた。従って  $M = 8.23$  に対し  $l = 380 \text{ km}$  となる。

離心率  $\epsilon$  は、

$$\epsilon = \tanh [1.5 \tanh \left[ \left( \frac{\pi}{2012} \right)^{1/2} \times l^{3/3} \right]] \quad (5)$$

$l = 380 \text{ km}$  に対し、 $\epsilon = 0.969$  くなり、従つての槽円が浪源域となる。

$$\begin{aligned} \text{長軸 } 2a &= \frac{l}{\epsilon} = 380 / 0.969 = 393 \text{ km}, \quad \text{短軸 } 2b &= l \cdot (1 - \epsilon^2)^{1/2} / \epsilon = 96 \text{ km} \end{aligned} \quad (6)$$

浪源域の面積  $S = \pi ab = 3.14 \times 197 \times 48 = 2.97 E + 10 \text{ m}^2$ 。

浪源域の面積  $S$  における一様に平均  $z$  の垂直震度をもつて、 $z$  に之る水柱位置エネルギーを  $\frac{1}{2} \rho g z^2 S$  く津波エネルギー  $E_t$  く等しいとして垂直震度を求める。  $1 \text{ ton-m} = 9.8 E + 10 \text{ エルグ}$  であるから、

$$\bar{z} = \sqrt{\frac{2E_t}{\rho g S}} = \sqrt{\frac{2 \times 1.585 E + 23}{98 \times 2.97 E + 10}} = 10.4 \text{ m} \quad (7)$$

従つて浪源では  $10 \text{ m}$  程度の海底の上昇があることをうなづく。羽鳥らの研究による  $S$  く  $M$  の間に次式が適用される。

$$\log S = 1.07M - 4.12 \quad (8)$$

$M = 8.23$  に対する  $S = 4.898 E + 10 \text{ m}^2$  くたゞか、これで (7) に入れるべきは  $8.15 \text{ m}$  くたゞ。

### § 5. 浪源域の決定と大陸棚上の传播

以上は浪源域推定の第 1 段階である。しかるに問題とする海岸につつて若しくは場合、津波の東襲方向が問題となるが、この方向につつても上述の浪源域が設定できるわけではがない。つゞけて三陸沖に発生した津波の推進浪源域を考慮し、つきの條件を設定了。(i) 浪源槽円の短軸は波向線に平行。(ii) 浪源域はタスカロフ海溝の縁辺に存在する。(iii) 浪源域は水深  $2000 \text{ m}$  以上の大陸棚領域に存在する。(iv) 国花を対象地と考へ、任意の方向に入射角をつゝ波向線の進行路図を画き、上述の條件に従う最も大きな浪源域を求める。しかるにさきには図-2 に示すよう  $Model 1, 2, 3$  在典型的的性をもつし、これより斜め方向では浪源域の大きさは急減する。従つてこの三種の  $Model$  へつ

参考4の方法で再計算をする以表-2をうる。

これによつて田若では  $N85^{\circ}W$  の入射角に方ひて最大の津波が発生す。これは必ずしも、 $N80^{\circ}W \sim N90^{\circ}W$  を外すと必ずしも津波はござらぬことわかる。岩崎・楊がかつて行なった計算(1970)によると、云々一定とし、変動の継続時間を表すと、津波に到達する津波の形は著しく変化を示す。従つて計算の取り方の技術上、変動時間  $\approx 600$  SEC にせり、大陸棚上の伝播につれて、基本方程式を解くことにより、津波の波形を決定せらるゝである。

### § 6. 結論

津波の発生より大陸棚伝播に至つては相田(1969)、岩崎・楊(1970)の計算が既になされており、その方法を用ひれば容易に津波に到達する津波を求めることが可能である。

ここに摘要した方法は同波に当たる S Verdrup-Munk, あるいは日本一井島の方法に対するものと考へてよい。最後に本研究は昭和46年度文部省科学研究所費(特定研究)「資料の解析」蒐集代表者石原実雄の援助を蒙った。

### 参考文献

- (1) 岩崎・富樫“海上津波先端の境界条件試算法”第16回海岸工学講演集(1969)
- (2) 同上 “海上津波に対する陸堤効果に関する研究”第14回海岸工学講演集(1967)
- (3) Aida I. "Numerical exp. for Tsunami caused by moving deformation of sea bottom"  
Bull. of the earthquake research Inst. Vol. 47 (1969)
- (4) 岩崎・楊“湾内津波の計算第2報”第7回自然災害科学総合シンポジウム(1970)
- (5) 岩崎“津波”水工学に関する夏期研修会講演集, A. 海岸・港湾コース(1970)
- (6) 岩崎“津波特論”同上(1971)

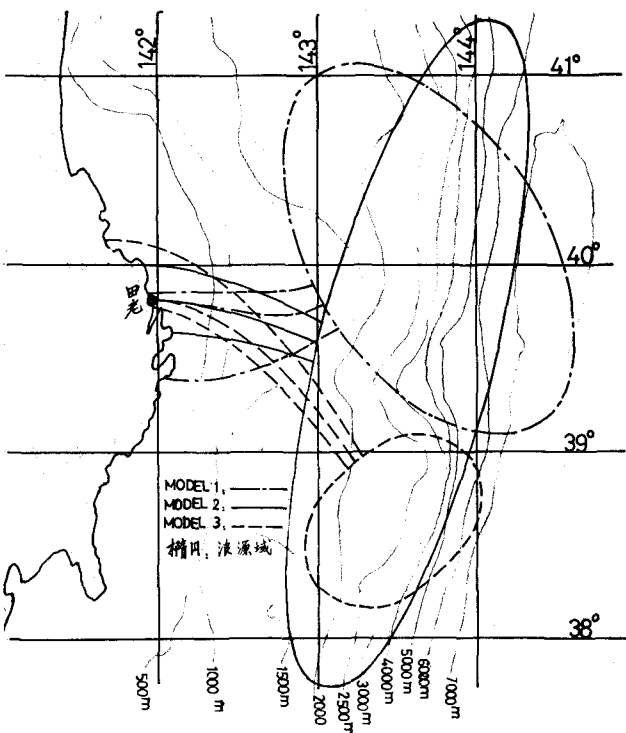


図-2. 波源域のMODELS.

表-2

| MODEL NO. | 入射角 $\theta$   | 波源構造面積 $S(km^2)$ | 津波の初期高 $m$ | 津波のエネルギー $E_i(erg)$ | 最終変動高 $Z(m)$ |
|-----------|----------------|------------------|------------|---------------------|--------------|
| 1         | $N80^{\circ}W$ | 21126.           | 2.44       | $0.73E23$           | 8.4          |
| 2         | $N85^{\circ}W$ | 29692.           | 3.00       | $1.585E23$          | 10.4         |
| 3         | $N90^{\circ}W$ | 6390.            | 1.70       | $0.263E23$          | 9.2          |